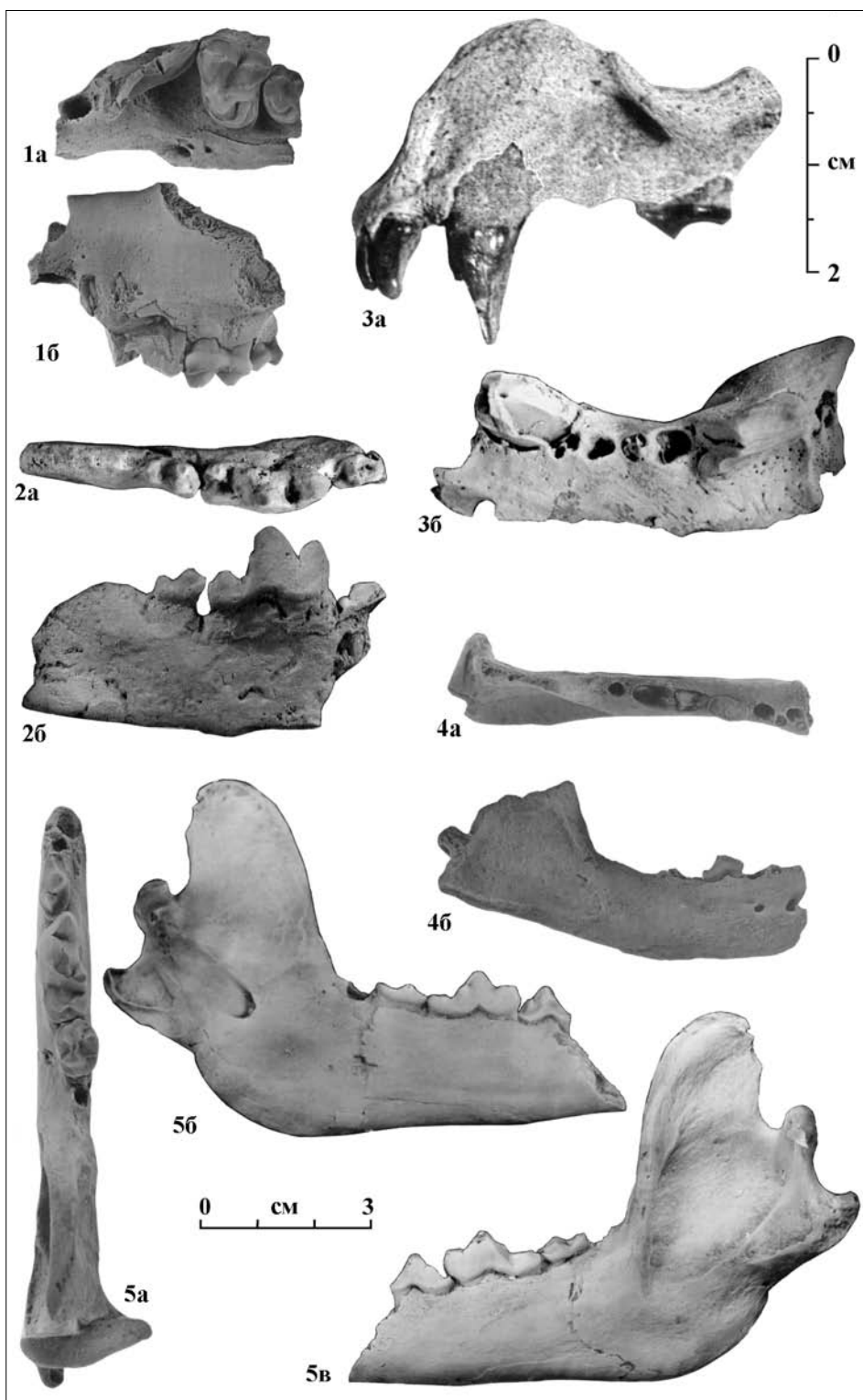


**ФОТОТАБЛИЦЫ**

---

**FOTOTABLES**

Фототаблица I



### Объяснение к фототаблице I

**Фиг. 1–2.** *Canis* sp.: 1 — экз. РОМК, № Л-178, фрагмент левой верхней челюсти с  $P^4\text{-}M^2$  ( $3\times 2$ ): 1а — вентральная сторона, 1б — латеральная сторона; 2 — экз. ГГМ, б/№, фрагмент правой ветви нижней челюсти с  $P_4\text{-}M_2$ , слепок ( $4\times 5$ ): 2а — вид сверху, 2б — медиальная сторона; Приазовье, Хапровский карьер; поздний плиоцен, хапровские слои

**Фиг. 3–4.** *Pannonictis nestii* (Martelli): 3 — экз. РОМК, № Л-1327, фрагмент левой передней части черепа с  $I^2\text{-}I^3$ ,  $C^1$ ,  $P^4$  ( $4\times 5$ ): 3а — латеральная сторона, 3б — вентральный вид без  $I^{2-3}$ ; 4 — экз. АМЗ, № Л-2034, правая ветвь нижней челюсти с  $P_4$  ( $4\times 5$ ): 4а — вид сверху; 4б — латеральный вид; Приазовье, Ливенцовский карьер; поздний плиоцен, хапровские слои

**Фиг. 5.** *Nyctereutes megamastoides* (Pomel), экз. ГИН, № 302/1, левая нижняя челюсть ( $4\times 5$ ): 5а — вид сверху, 5б — лингвальная сторона, 5в — латеральная сторона; Приазовье, Воловая балка; поздний плиоцен, хапровские слои

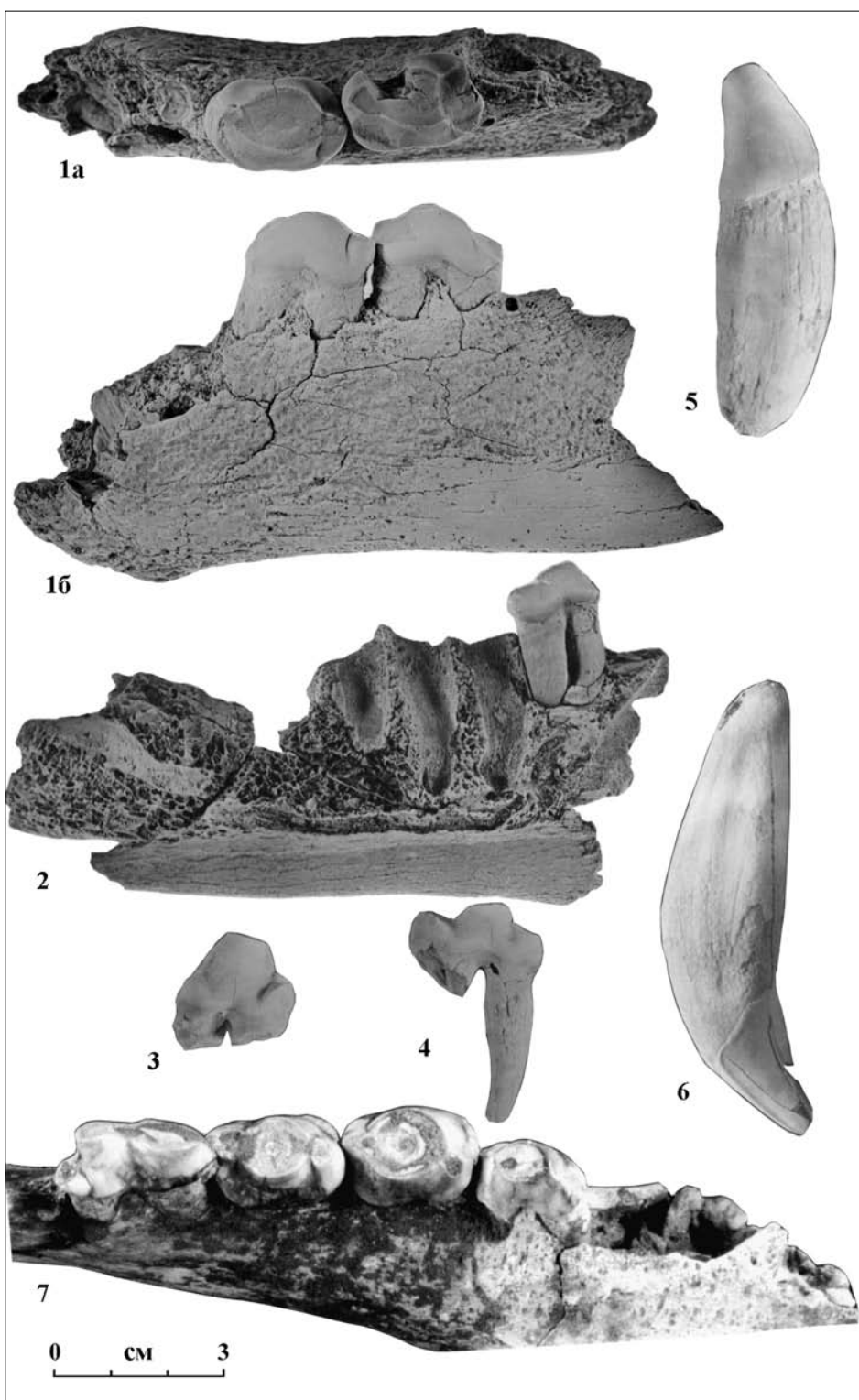
### Explanation to Plate I

**Fig. 1–2.** *Canis* sp.: 1 — specimen ROMK, № L-178, the fragment of left upper jaw with  $P^4\text{-}M^2$  ( $3\times 2$ ): 1a — ventral view, 1б — lateral view; 2 — specimen GGM, no №, the fragment of right lower jaw with  $P_4\text{-}M_2$ , cast ( $4\times 5$ ): 2а — dorsal view, 2б — medial view; Sea of Azov Region, Khapry sand pit; Late Pliocene, Khapry layers

**Fig. 3–4.** *Pannonictis nestii* (Martelli): 3 — specimen ROMK, № L-1327, the fragment of left rostral part of the skull with  $I^2\text{-}I^3$ ,  $C^1$ ,  $P^4$  ( $4\times 5$ ): 3а — lateral view, 3б — ventral view without  $I^{2-3}$ ; 4 — specimen AMЗ, № Л-2034, right ramus of lower jaw with  $P_4$  ( $4\times 5$ ): 4а — dorsal view; 4б — lateral view; Sea of Azov Region, Liventsovka sand pit; Late Pliocene, Khapry layers

**Fig. 5.** *Nyctereutes megamastoides* (Pomel), specimen GIN, № 302/1, left lower jaw ( $4\times 5$ ): 5а — dorsal view, 5б — lingual view, 5в — lateral view; Sea of Azov Region, Volovaya Balka; Late Pliocene, Khapry layers

Фототаблица II



## Объяснение к фототаблице II

**Фиг. 1–6.** *Pliocrocuta perrieri* (Croizet et Jobert): 1 — экз. РОМК, № Л-1512, фрагмент левой нижней челюсти с  $P_1$ - $P_2$  ( $4\times 5$ ): 1а — вид сверху, 1б — латеральный вид; 2 — экз. ГИН, № 301/10, фрагмент правой нижней челюсти с  $P_2$ , лингвальная сторона ( $4\times 5$ ); 3 — экз. ГИН, № 300/58, правый  $P_2$ , латеральный вид ( $4\times 5$ ); 4 — экз. АМЗ, № РГУ-674, левый  $P_3$ , лингвальный вид ( $4\times 5$ ); 5 — экз. РОМК, 6/№; нижний клык, латеральный вид ( $4\times 5$ ); 6 — экз. ГИН, 6/№; верхний клык, лингвальный вид ( $4\times 5$ ); Приазовье, Ливенцовский карьер; поздний плиоцен, хапровские слои

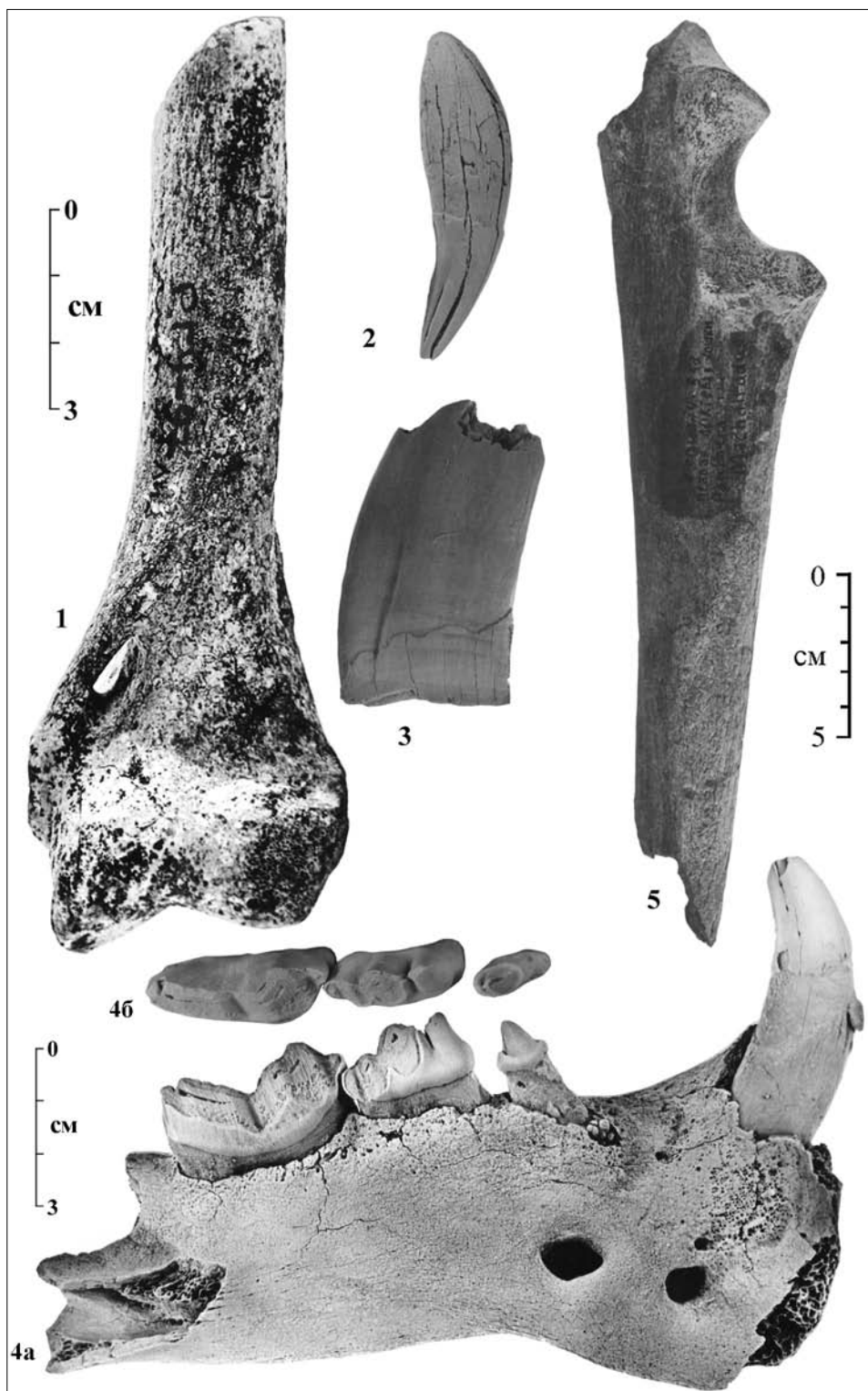
**Фиг. 7.** *Pachycrocuta brevirostris* (Aymard), экз. РОМК, № Л-231, левый зубной ряд  $P_2$ - $M_1$ , вид сверху ( $4\times 5$ ); Приазовье, Ливенцовский карьер; поздний плиоцен, хапровские слои

## Explanation to Plate II

**Fig. 1–6.** *Pliocrocuta perrieri* (Croizet et Jobert): 1 — specimen ROMK, № L-1512, the fragment of left lower jaw with  $P_1$ - $P_2$  ( $4\times 5$ ): 1a — dorsal view, 1б — lateral view; 2 — specimen GIN, № 301/10, the fragment of right lower jaw with  $P_2$ , lingual view ( $4\times 5$ ); 3 — specimen GIN, № 300/58, right  $P_2$ , lateral view ( $4\times 5$ ); 4 — specimen AMZ, № RGU-674, left  $P_3$ , lingual view ( $4\times 5$ ); 5 — specimen ROMK, no №; lower canine, lateral view ( $4\times 5$ ); 6 — specimen GIN, no №; upper canine, lingual view ( $4\times 5$ ); Sea of Azov Region, Liventsovka sand pit; Late Pliocene, Khapry layers

**Fig. 7.** *Pachycrocuta brevirostris* (Aymard), specimen ROMK, № L-231, left  $P_2$ - $M_1$ , dorsal view ( $4\times 5$ ); Sea of Azov Region, Liventsovka sand pit; Late Pliocene, Khapry layers

Фототаблица III



### Объяснение к фототаблице III

**Фиг. 1.** *Acinonyx* sp., экз. АМЗ, № ОП-1734, фрагмент левой плечевой кости, вентральная сторона ( $\times 1$ ); Приазовье, Ливенцовский карьер; поздний плиоцен, хапровские слои

**Фиг. 2.** *Lynx issiodorensis* (Croizet et Jobert), экз. РОМК, № Л-169, правый верхний клык, латеральный вид ( $\times 1$ ); Приазовье, Ливенцовский карьер; поздний плиоцен, хапровские слои

**Фиг. 3–5.** *Homotherium crenatidens* (Fabrini): 3 — экз. РОМК, № Л-74, фрагмент правого верхнего клыка, латеральный вид ( $\times 1$ ); 4 — экз. АМЗ, № ОП-1684, левая ветвь нижней челюсти с  $C_1$  и  $P_3$ - $M_1$  ( $3 \times 4$ ): 4а — латеральный вид, 4б — вид щечных зубов сверху; 5 — экз. АМЗ, б/№, фрагмент кости предплечья, медиальная сторона ( $1 \times 2$ ); Приазовье, Ливенцовский карьер; поздний плиоцен, хапровские слои

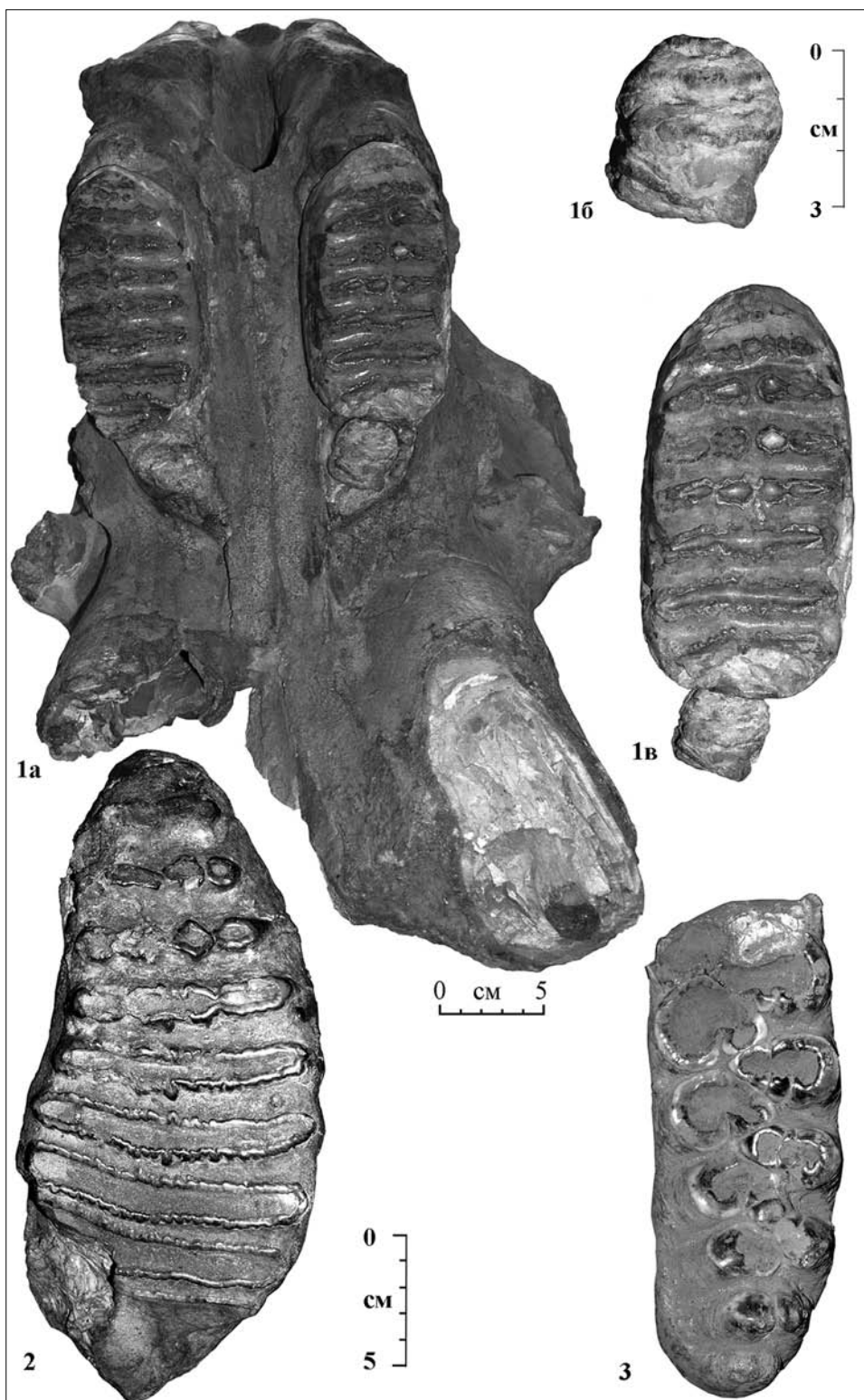
### Explanation to Plate III

**Fig. 1.** *Acinonyx* sp., specimen AMZ, № OP-1734, the fragment of left humerus, ventral view ( $\times 1$ ); Sea of Azov Region, Liventsovka sand pit; Late Pliocene, Khapry layers

**Fig. 2.** *Lynx issiodorensis* (Croizet et Jobert), specimen ROMK, № L-169, right upper canine, lateral view ( $\times 1$ ); Sea of Azov Region, Liventsovka sand pit; Late Pliocene, Khapry layers

**Fig. 3–5.** *Homotherium crenatidens* (Fabrini): 3 — specimen ROMK, № L-74, fragment of right upper canine, lateral view ( $\times 1$ ); 4 — specimen AMZ, № OP-1684, left ramus of lower jaw with  $C_1$  and  $P_3$ - $M_1$  ( $3 \times 4$ ): 4а — lateral view, 4б — occlusal view; 5 — specimen AMZ, no №, the fragment of forearm bone, medial view ( $1 \times 2$ ); Sea of Azov Region, Liventsovka sand pit; Late Pliocene, Khapry layers

## Фототаблица IV



### Объяснение к фототаблице IV

**Фиг. 1–2.** *Archidiskodon meridionalis gromovi* Garutt et Alexejeva: 1 — экз. ГИН, № 300/122, фрагмент черепа с  $dp^2$  и  $M^1$ , лингвальная сторона ( $1\times3$ ): 1а — вид снизу, 1б — жевательная поверхность правого  $dp^2$  ( $4\times5$ ), 1в — жевательная поверхность правых  $dp^2$ - $M^1$  ( $2\times5$ ); Приазовье, Хапровский карьер; поздний плиоцен, хапровские слои; 2 — экз. РОМК, № Л-113, правый  $M^3$ , жевательная поверхность ( $2\times5$ ); Приазовье, Ливенцовский карьер; поздний плиоцен, хапровские слои

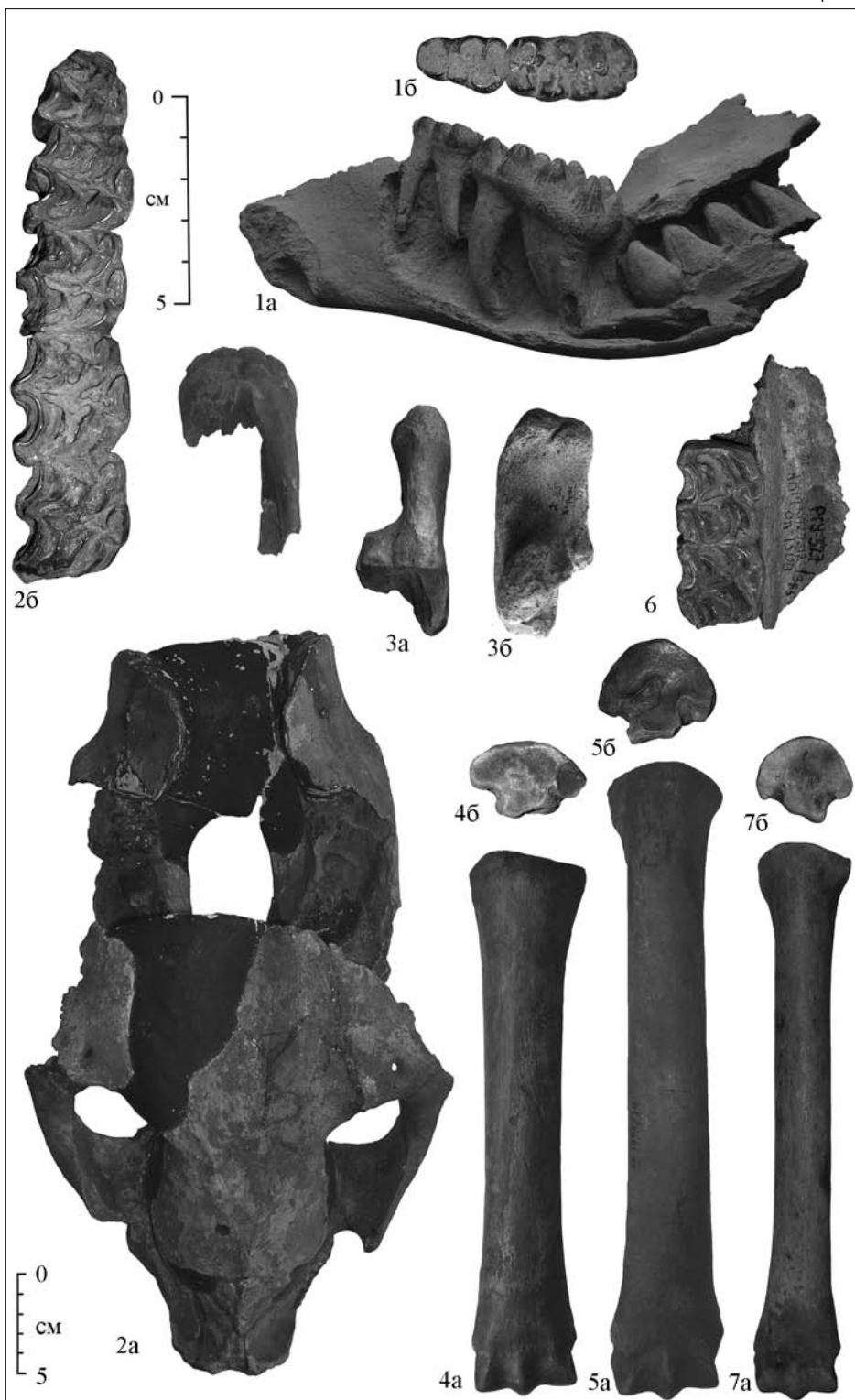
**Фиг. 3.** *Anancus arvernensis alexeevae* Bajguscheva, экз. РОМК, № Л-118, левый  $M_3$ , жевательная поверхность ( $2\times5$ ); Приазовье, Ливенцовский карьер; поздний плиоцен, хапровские слои

### Explanation to Plate IV

**Fig. 1–2.** *Archidiskodon meridionalis gromovi* Garutt et Alexejeva: 1 — specimen GIN, № 300/122, the cranium's fragment with  $dp^2$  and  $M^1$ , lingual view ( $1\times3$ ): 1a — view from below, 1б — occlusal surface of the right  $dp^2$  ( $4\times5$ ), 1в — occlusal surface of right  $dp^2$ - $M^1$  ( $2\times5$ ); Sea of Azov Region, Khapry sand pit; Late Pliocene, Khapry layers; 2 — specimen ROMK, № L-113, the right  $M^3$ , occlusal surface ( $2\times5$ ); Sea of Azov Region, Liventsovka sand pit; Late Pliocene, Khapry layers

**Fig. 3.** *Anancus arvernensis alexeevae* Bajguscheva, specimen ROMK, № L-118, left  $M_3$ , occlusal view ( $2\times5$ ); Sea of Azov Region, Liventsovka sand pit; Late Pliocene, Khapry layers

Фототаблица V



## Объяснение к фототаблице V

**Фиг. 1.** *Anancus arvernensis alexeevae* Bajguscheva, экз. РОМК, № Л-775, правая ветвь нижней челюсти с  $dp_3$ - $dp_3$  и непрорезавшимся  $M_1$  ( $1\times 3$ ): 1а — лингвальная сторона, 1б — жевательная поверхность правого  $dp_3$ - $dp_4$ ; Приазовье, Ливенцовский карьер; поздний плиоцен, хапровские слои

**Фиг. 2–5.** *Equus (Allohippus) livenzovensis* Bajgusheva: 2 — голотип РОМК, № Л-4, неполный череп: 2а — дорзальный вид ( $1\times 3$ ), 2б — жевательная поверхность правых  $P^3$ - $M^3$  ( $3\times 5$ ); Приазовье, Ливенцовский карьер; поздний плиоцен, хапровские слои; 3 — экз. ЗИН, № Х-25, левая пятончая кость ( $1\times 3$ ): 3а — дорзальная сторона, 3б — медиальная сторона; Приазовье, Хапровский карьер; поздний плиоцен, хапровские слои; 4 — экз. РОМК, № Л-931, левая плюсневая кость  $Mc$  III ( $1\times 3$ ): 4а — дорзальная сторона, 4б — проксимальная суставная поверхность; 5 — экз. АМЗ, № ОП-1571, правая пястная кость  $Mt$  III ( $1\times 3$ ): 5а — дорзальная сторона, 5б — проксимальная суставная поверхность; Приазовье, Ливенцовский карьер; поздний плиоцен, хапровские слои

**Фиг. 6–7.** *Equus* sp.: 6 — экз. РОМК, № Л-327, фрагмент правой верхней челюсти с  $P^4$ - $M^1$ , жевательная поверхность ( $3\times 5$ ); 7 — экз. АМЗ, № ОП-1580, левая пястная кость  $Mt$  III ( $1\times 3$ ): 7а — дорзальная сторона, 7б — проксимальная суставная поверхность; Приазовье, Ливенцовский карьер; поздний плиоцен, хапровские слои

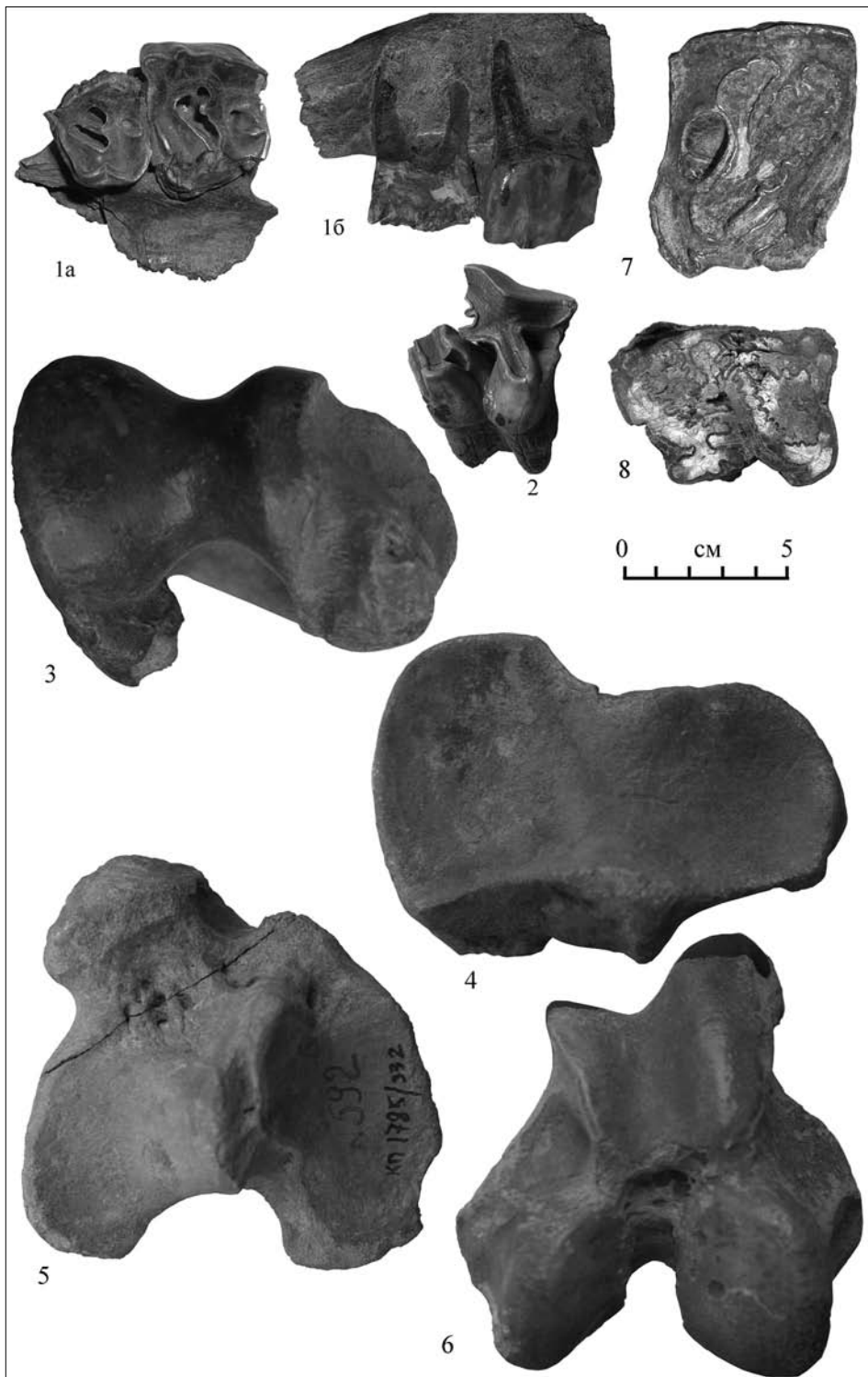
## Explanation to Plate V

**Fig. 1.** *Anancus arvernensis alexeevae* Bajguscheva, specimen ROMK, № L-775, right ramus of lower jaw with  $dp_3$ - $dp_3$  and uncutting  $M_1$  ( $1\times 3$ ): 1a — lingual view, 1б — occlusal view of right  $dp_3$ - $dp_4$ ; Sea of Azov Region, Liventsovka sand pit; Late Pliocene, Khapry layers

**Fig. 2–5.** *Equus (Allohippus) livenzovensis* Bajgusheva: 2 — holotype ROMK, № L-4, incomplete skull: 2а — dorsal view ( $1\times 3$ ), 2б — occlusal view of right  $P^3$ - $M^3$  ( $3\times 5$ ); Sea of Azov Region, Liventsovka sand pit; Late Pliocene, Khapry layers; 3 — specimen ZIN, № X-25, left calcaneum ( $1\times 3$ ): 3а — dorsal view, 3б — medial view; Sea of Azov Region, Khapry sand pit; Late Pliocene, Khapry layers; 4 — specimen ROMK, № L-931, left metacarpal bone  $Mc$  III ( $1\times 3$ ): 4а — dorsal view, 4б — proximal articulation; 5 — specimen AMZ, № ОР-1571, right metatarsal bone  $Mt$  III ( $1\times 3$ ): 5а — dorsal view, 5б — proximal articulation; Sea of Azov Region, Liventsovka sand pit; Late Pliocene, Khapry layers

**Fig. 6–7.** *Equus* sp.: 6 — specimen ROMK, № L-327, the fragment of right upper jaw with  $P^4$ - $M^1$ , occlusal view ( $3\times 5$ ); 7 — specimen AMZ, № ОР-1580, left metatarsal bone  $Mt$  III ( $1\times 3$ ): 7а — dorsal view, 7б — proximal articulation; Sea of Azov Region, Liventsovka sand pit; Late Pliocene, Khapry layers

Фототаблица VI



## Объяснение к фототаблице VI

**Фиг. 1–6.** *Stephanorhinus* sp.: 1 — экз. РОМК, № X-1024, левые P<sup>2</sup>-P<sup>3</sup> (1×2): 1а — жевательная поверхность, 1б — лабиальная сторона; Приазовье, Хапровский карьер; поздний плиоцен, хапровские слои; 2 — экз. РОМК, № Л-317, левый M<sup>1</sup>, жевательная поверхность (1×2); 3 — экз. РОМК, № Л-1566, левая плечевая кость, дистальный конец; 4 — экз. РОМК, № Л-1172, правая лучевая кость, проксимальный конец (1×2); 5 — экз. РОМК, № Л-592, правая большая берцовая кость, проксимальный конец (1×2); 6 — экз. РОМК, № Л-182, правая бедренная кость, дистальный конец (1×2); Приазовье, Ливенцовский карьер; поздний плиоцен, хапровские слои

**Фиг. 7–8.** *Elasmotherium chaprovicum* Shvyрева: 7 — экз. РОМК, № МЧ-1410, правый M<sup>1</sup>, жевательная поверхность (1×2); Приазовье, Мокро-Чалтырьский карьер; поздний плиоцен, хапровские слои; 8 — экз. РОМК, № Л-1439, левый M<sup>2</sup>, жевательная поверхность (1×2); Приазовье, Ливенцовский карьер; поздний плиоцен, хапровские слои

## Explanation to Plate VI

**Fig. 1–6.** *Stephanorhinus* sp.: 1 — specimen ROMK, № X-1024, left P<sup>2</sup>-P<sup>3</sup> (1×2): 1a — occlusal view, 1b — labial view; Sea of Azov Region, Khapry sand pit; Late Pliocene, Khapry layers; 2 — specimen ROMK, № L-317, left M<sup>1</sup>, occlusal view (1×2); 3 — specimen ROMK, № L-1566, left humerus, distal articulation; 4 — specimen ROMK, № L-1172, right radius, proximal articulation (1×2); 5 — specimen ROMK, № L-592, right tibia, proximal articulation (1×2); 6 — specimen ROMK, № L-182, right femur, distal articulation (1×2); Sea of Azov Region, Liventsovka sand pit; Late Pliocene, Khapry layers

**Fig. 7–8.** *Elasmotherium chaprovicum* Shvyрева: 7 — specimen ROMK, № MCH-1410, right M<sup>1</sup>, occlusal view (1×2); Sea of Azov Region, Mokiy Chaltyr' sand pit; Late Pliocene, Khapry layers; 8 — specimen ROMK, № L-1439, left M<sup>2</sup>, occlusal view (1×2); Sea of Azov Region, Liventsovka sand pit; Late Pliocene, Khapry layers

Фототаблица VII



## Объяснение к фототаблице VII

**Фиг. 1–4.** *Stephanorhinus* sp.: 1 — экз. РОМК, № Л-5, правая ветвь нижней челюсти с  $P_2$ - $M_3$ , лингвальная сторона ( $1\times 3$ ); Приазовье, Ливенцовский карьер; поздний плиоцен, хапровские слои; 2 — экз. РОМК, № МЧ-1270, левая ветвь нижней челюсти с  $P_2$ - $M_3$  ( $1\times 3$ ): 2а — вид сверху, 2б — лабиальная сторона; Приазовье, Мокро-Чалтырьский карьер; поздний плиоцен, хапровские слои; 3 — экз. РОМК, № Х-566, фрагмент левой ветви нижней челюсти с  $M_1$ - $M_3$ , лингвальная сторона, со следами биоповреждений ( $1\times 3$ ); Приазовье, Хапровский карьер; поздний плиоцен, хапровские слои; 4 — экз. РОМК, № Л-1062, фрагмент левой ветви нижней челюсти с  $dp_2$ - $dp_3$  ( $1\times 3$ ): 4а — вид сверху, 4б — лингвальная сторона; Приазовье, Ливенцовский карьер; поздний плиоцен, хапровские слои

## Explanation to Plate VII

**Fig. 1–4.** *Stephanorhinus* sp.: 1 — specimen ROMK, № L-5, right lower jaw with  $P_2$ - $M_3$ , lingual view ( $1\times 3$ ); Sea of Azov Region, Liventsovka sand pit; Late Pliocene, Khapry layers; 2 — specimen ROMK, № MCH-1270, left lower jaw with  $P_2$ - $M_3$  ( $1\times 3$ ): 2a — dorsal view, 2б — labial view; Sea of Azov Region, Mokiy Chaltyr' sand pit; Late Pliocene, Khapry layers; 3 — specimen ROMK, № X-566, the fragment of left lower jaw with  $M_1$ - $M_3$ , lingual view, with traces of biodeterioration ( $1\times 3$ ); Sea of Azov Region, Khapry sand pit; Late Pliocene, Khapry layers; 4 — specimen ROMK, № L-1062, the fragment of left lower jaw with фрагмент  $dp_2$ - $dp_3$  ( $1\times 3$ ): 4а — dorsal view, 4б — lingual view; Sea of Azov Region, Liventsovka sand pit; Late Pliocene, Khapry layers

Фототаблица VIII



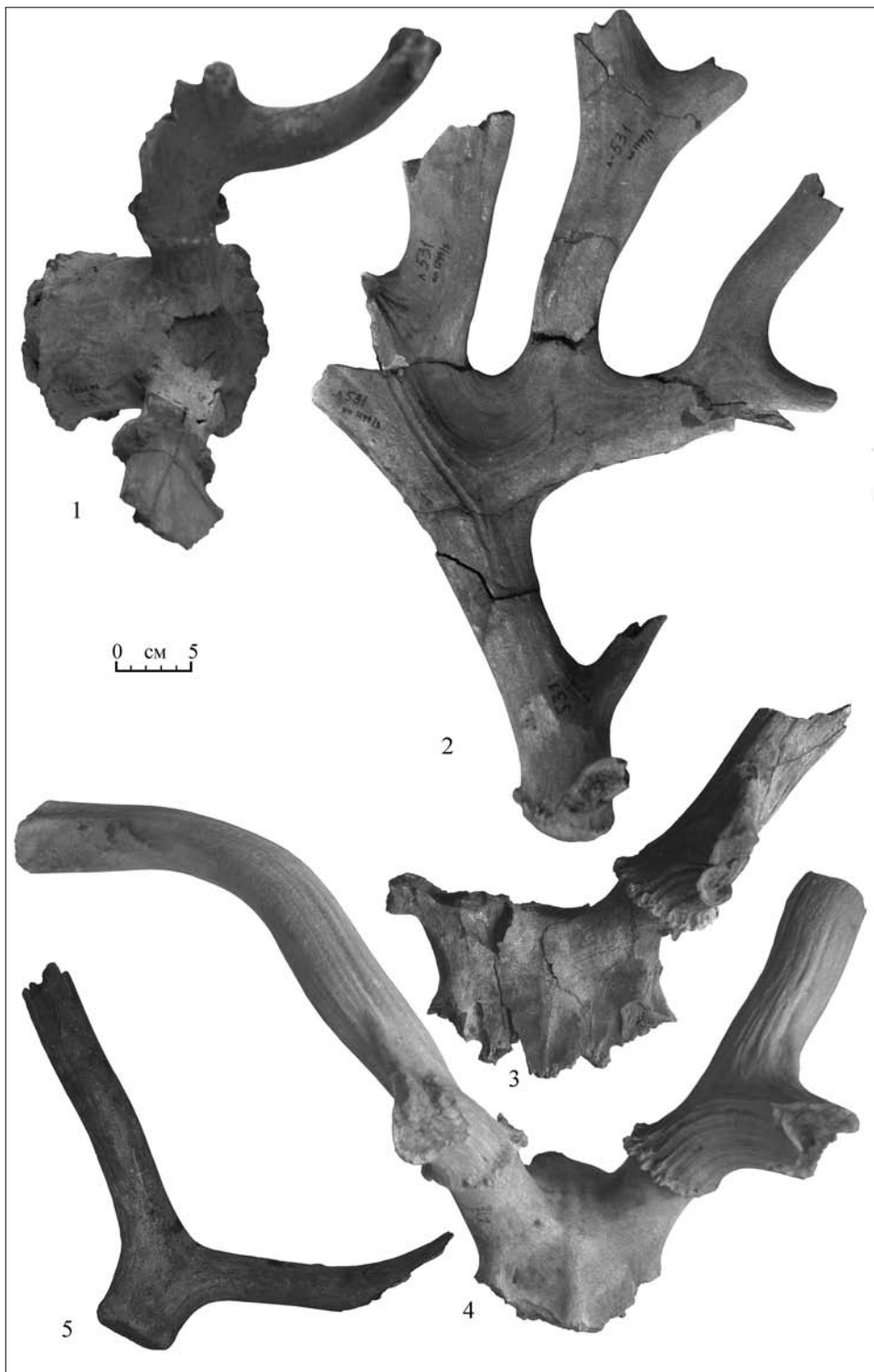
### Объяснение к фототаблице VIII

**Фиг. 1–7.** *Paracamelus alutensis* (Stefanescu): 1 — экз. РОМК, № Л-290, правая пястная кость Mc III+IV (1×2): 1а — дорзальная сторона, 1б — проксимальная суставная поверхность; 2 — экз. РОМК, № Л-238, правая плюсневая кость Mt III+IV (1×2): 2а — дорзальная сторона, 2б — проксимальная суставная поверхность; 3 — экз. РОМК, № Л-64, левая пяткочная кость, медиальная сторона (1×2); 4 — экз. РОМК, № Л-196, правая надпяточная кость, дорзальная сторона (1×2); 5 — экз. РОМК, № Л-624, первая фаланга (1×2); 6 — экз. АМЗ, № ОП-1280, фрагмент левой плечевой кости, дорзальная сторона; 7 — экз. АМЗ, № ОП-1280, дистальная часть левой плечевой кости, дорзальная сторона (1×2); Приазовье, Ливенцовский карьер; поздний плиоцен, хапровские слои

### Explanation to Plate VIII

**Fig. 1–7.** *Paracamelus alutensis* (Stefanescu): 1 — specimen ROMK, № L-290, right metacarpal bone Mc III+IV (1×2): 1a — dorsal view, 1б — proximal articulation; 2 — specimen ROMK, № L-238, right metatarsal bone Mt III+IV (1×2): 2а — dorsal view, 2б — proximal articulation; 3 — specimen ROMK, № L-64, left calcaneum, medial view (1×2); 4 — specimen ROMK, № L-196, right astragalus, dorsal view (1×2); 5 — specimen ROMK, № L-624, first phalanx (1×2); 6 — specimen AMZ, № OP-1280, the fragment of left humerus, dorsal view; 7 — specimen AMZ, № OP-1280, distal part of left humerus, dorsal view (1×2); Sea of Azov Region, Liventsovka sand pit; Late Pliocene, Khapry layers

Фототаблица IX



### Объяснение к фототаблице IX

**Фиг. 1–3.** *Eucladoceros* sp.: 1 — экз. РОМК, № Л-1218, мозговой отдел черепа с фрагментами рогов, вид сверху ( $1\times 5$ ); 2 — экз. РОМК, № Л-531, фрагмент левого рога, медиальная сторона; 3 — экз. РОМК, № Л-1564, фрагмент черепа с обломком левого рога, ростральный вид ( $1\times 5$ ); Приазовье, Ливенцовский карьер; поздний плиоцен, хапровские слои

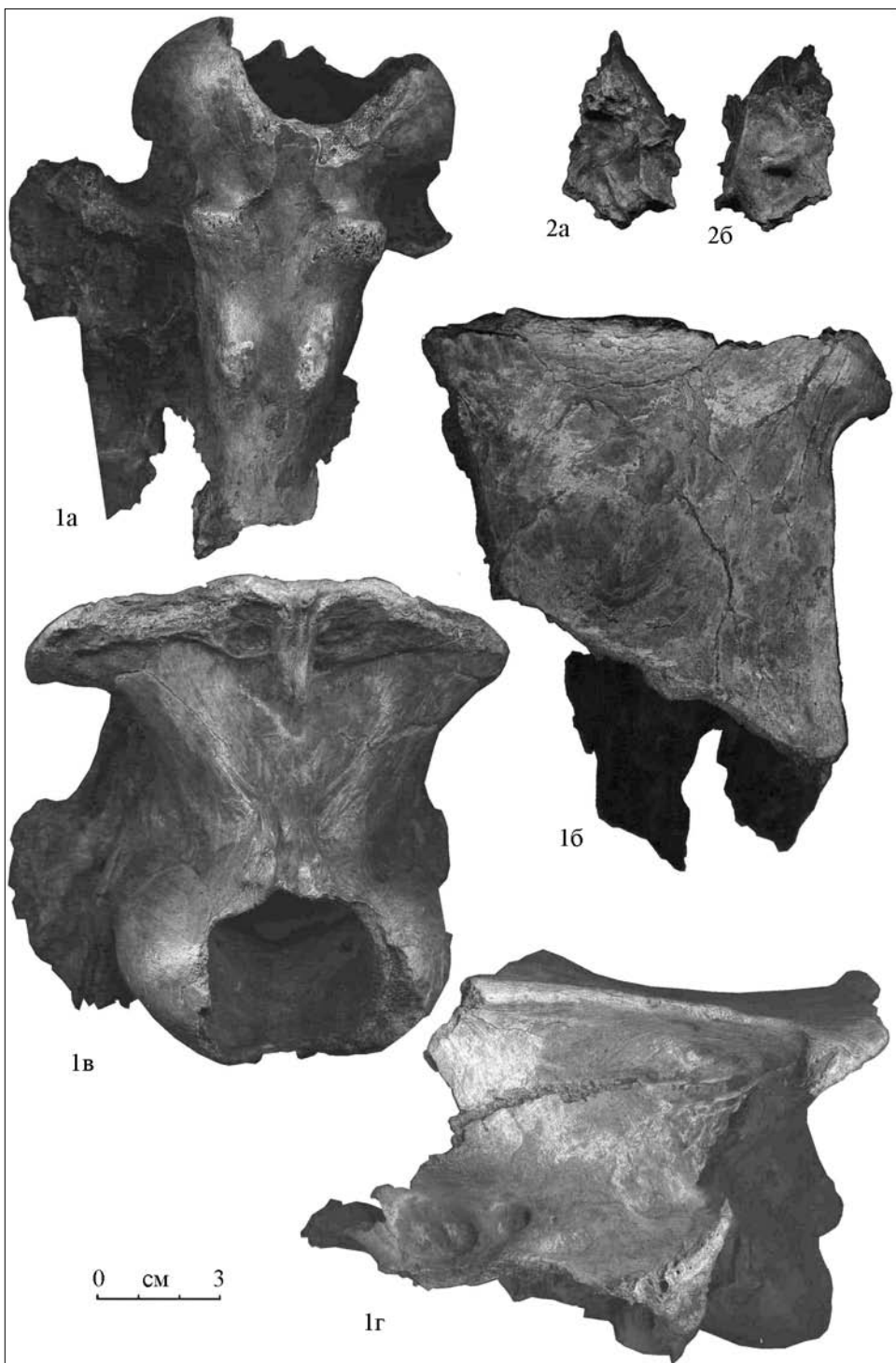
**Фиг. 4–5.** *Arvernoceros* sp.: 4 — экз. АМЗ, № РГУ-239, фрагмент черепа с обломками рогов, ростральный вид; 5 — экз. АМЗ, № 1422, фрагмент левого рога, медиальная сторона ( $1\times 5$ ); Приазовье, Ливенцовский карьер; поздний плиоцен, хапровские слои

### Explanation to Plate IX

**Fig. 1–3.** *Eucladoceros* sp.: 1 — specimen ROMK, № L-1218, cerebral part of the skull with fragments of antlers, dorsal view ( $1\times 5$ ); 2 — specimen ROMK, № L-531, the fragment of left antler, medial view; 3 — specimen ROMK, № L-1564, the part of the skull with the fragment of left antler, rostral view ( $1\times 5$ ); Sea of Azov Region, Liventsovka sand pit; Late Pliocene, Khapry layers

**Fig. 4–5.** *Arvernoceros* sp.: 4 — specimen AMZ, № RGU-239, the part of the skull with the fragments of antlers, rostral view; 5 — specimen AMZ, № 1422, the fragment of the antler, medial view ( $1\times 5$ ); Sea of Azov Region, Liventsovka sand pit; Late Pliocene, Khapry layers

Фототаблица X



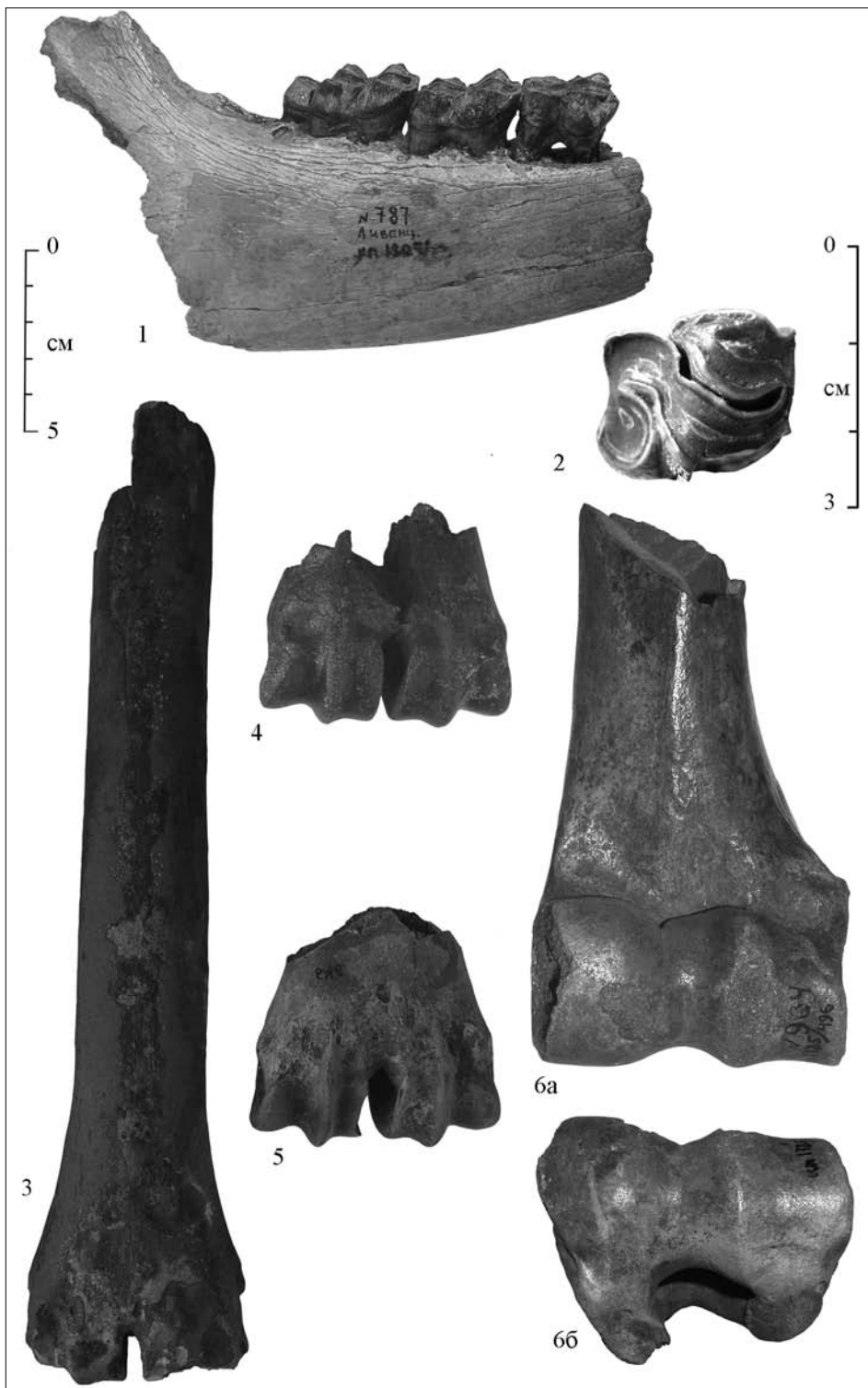
### Объяснение к фототаблице X

**Фиг. 1–2.** *Palaeotragus (Yuorlovia) priasovicus* Godina et Baigusheva, экз. АМЗ, № ОП-1887: 1 — фрагмент черепа (3×5): 1а — вид снизу, 1б — вид сверху, 1в — вид сзади, 1г — вид сбоку; 2 — правая каменистая кость (3×5): 2а — передне-наружная сторона, 2б — задневнутренняя сторона; Приазовье, Ливенцовский карьер; поздний плиоцен, хапровские слои

### Explanation to Plate X

**Fig. 1–2.** *Palaeotragus (Yuorlovia) priasovicus* Godina et Baigusheva, specimen AMZ, № OP-1887: 1 — the fragment of the skull (3×5): 1a — ventral view, 1б — dorsal view, 1в — aboral view, 1г — lateral view; 2 — right petrosus bone (3×5): 2а — antero-lateral view, 2б — posterior-medial view; Sea of Azov Region, Liventsovka sand pit; Late Pliocene, Khapry layers

Фототаблица XI



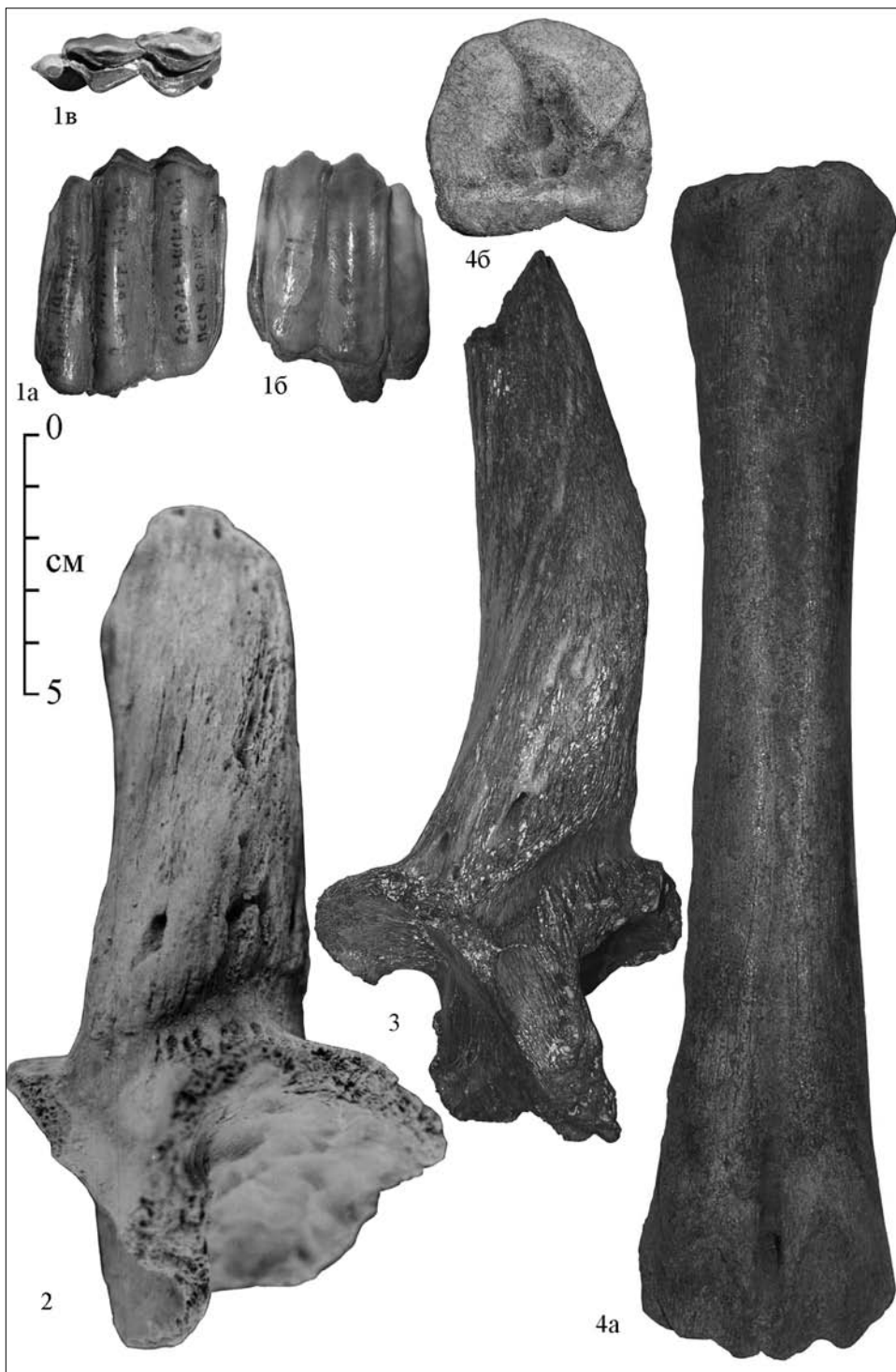
## Объяснение к фототаблице XI

**Фиг. 1–6.** *Palaeotragus (Yuorlovia) priasovicus* Godina et Baigusheva: 1 — экз. РОМК, № Л-787, фрагмент правой ветви нижней челюсти с  $M_1$ - $M_3$ , лабиальная сторона ( $1\times 2$ ); 2 — экз. РОМК, № Л-342, правый  $P_4$ , жевательная поверхность ( $\times 1$ ); 3 — экз. РОМК, № Л-842, фрагмент правой плюсневой кости, дорзальная сторона ( $1\times 2$ ); 4 — экз. РОМК, № Л-1617, дистальный отдел пястной кости, дорзальная сторона ( $1\times 2$ ); 5 — экз. РОМК, № Л-175, дистальный отдел пястной кости, дорзальная сторона ( $1\times 2$ ); 6 — голотип РОМК, № Л-904, дистальная часть левой плечевой кости ( $1\times 2$ ): 6а — дорзальная сторона, 6б — вид снизу; Приазовье, Ливенцовский карьер; поздний плиоцен, хапровские слои

## Explanation to Plate XI

**Fig. 1–6.** *Palaeotragus (Yuorlovia) priasovicus* Godina et Baigusheva: 1 — specimen ROMK, № L-787, the fragment of right lower jaw with  $M_1$ - $M_3$ , labial view ( $1\times 2$ ); 2 — specimen ROMK, № L-342, right  $P_4$ , occlusal view ( $\times 1$ ); 3 — specimen ROMK, № L-842, the fragment of right metatarsal bone, dorsal view ( $1\times 2$ ); 4 — specimen ROMK, № L-1617, distal part of metacarpal bone, dorsal view ( $1\times 2$ ); 5 — specimen ROMK, № L-175, distal part of metacarpal bone, dorsal view ( $1\times 2$ ); 6 — holotype ROMK, № L-904, distal part of left humerus ( $1\times 2$ ): 6а — dorsal view, 6б — distal view; Sea of Azov Region, Liventsovka sand pit; Late Pliocene, Khapry layers

Фототаблица XII



## Объяснение к фототаблице XII

**Фиг. 1.** *Tragelaphinae* gen. indet., экз. РОМК, № 771, правый  $M_3$  ( $3\times4$ ): 1а — лабиальная сторона, 1б — лингвальная сторона, 1в — жевательная поверхность; Приазовье, Кагальницкий песчаный карьер, поздний плиоцен – ранний плейстоцен

**Фиг. 2–3.** *Gazellospira gromovae* Dmitrieva: 2 — экз. РОМК, № Л-430, фрагмент левого рогового стержня с частью черепа, медиальная сторона ( $3\times4$ ); 3 — экз. АМЗ, № 1264, фрагмент левого рогового стержня с частью черепа, аборальная сторона ( $3\times4$ ); Приазовье, Ливенцовский карьер; поздний плиоцен, хапровские слои

**Фиг. 4.** *Leptobos* sp., экз. АМЗ, № ОП-1426, правая плюсневая кость Mt III+IV ( $3\times4$ ): 4а — дорзальная сторона, 4б — проксимальная суставная поверхность; Приазовье, Ливенцовский карьер; поздний плиоцен, хапровские слои

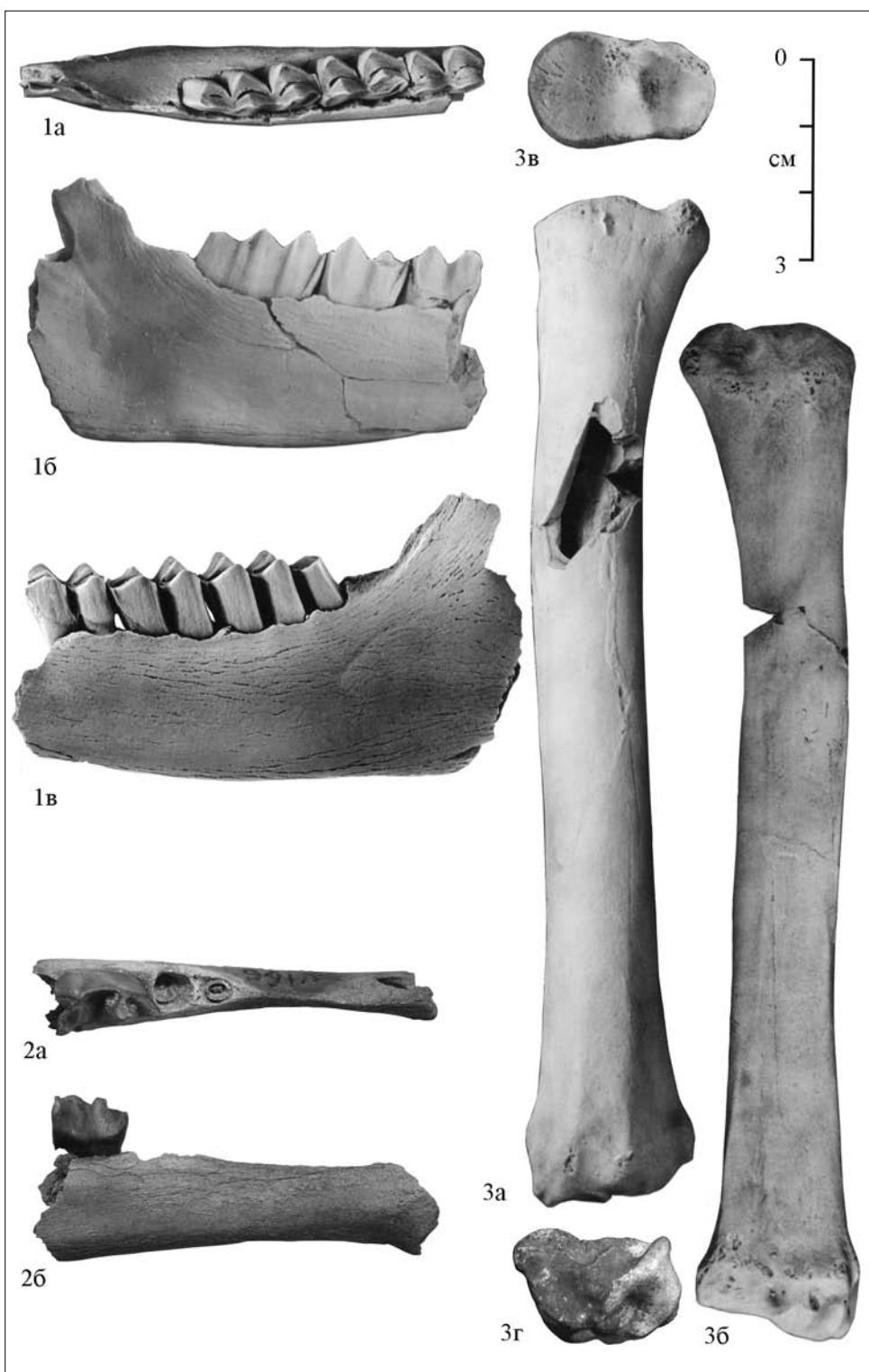
## Explanation to Plate XII

**Fig. 1.** *Tragelaphinae* gen. indet., specimen ROMK, № 771, right  $M_3$  ( $3\times4$ ): 1a — labial view, 1b — lingual view, 1v — occlusal view; Sea of Azov Region, Kagal'nik sand pit, Late Pliocene-Early Pleistocene

**Fig. 2–3.** *Gazellospira gromovae* Dmitrieva: 2 — specimen ROMK, № L-430, the fragment of left horn, medial view ( $3\times4$ ); 3 — specimen AMZ, № 1264, the fragment of left horn, aboral view ( $3\times4$ ); Sea of Azov Region, Liventsovka sand pit; Late Pliocene, Khapry layers

**Fig. 4.** *Leptobos* sp., specimen AMZ, № OP-1426, right metatarsal bone Mt III+IV ( $3\times4$ ): 4a — dorsal view, 4b — proximal articulation; Sea of Azov Region, Liventsovka sand pit; Late Pliocene, Khapry layers

Фототаблица XIII



### Объяснение к фототаблице XIII

**Фиг. 1–3.** *Gazella (Gazella) cf. subgutturosa*: 1 — экз. РОМК, № Л-1234, фрагмент левой нижней челюсти с  $M_1$ - $M_3$  ( $\times 1$ ): 1а — вид сверху, 1б — лингвальная сторона, 1в — лабиальная сторона; 2 — экз. РОМК, № Л-166, фрагмент левой нижней челюсти с  $P_3$  ( $\times 1$ ): 2а — вид сверху; 2б — лингвальная сторона; 3 — экз. РОМК, № Л-608, левая лучевая кость ( $\times 1$ ): 3а — вентральный вид, 3б — дорзальный вид, 3в — проксимальная суставная поверхность; 3г — дистальная суставная поверхность; Приазовье, Ливенцовский карьер; поздний плиоцен, хапровские слои

### Explanation to Plate XIII

**Fig. 1–3.** *Gazella (Gazella) cf. subgutturosa*: 1 — specimen ROMK, № L-1234, the fragment of left lower jaw with  $M_1$ - $M_3$  ( $\times 1$ ): 1a — dorsal view, 1b — lingual view, 1v — labial view; 2 — specimen ROMK, № L-166, the fragment of left lower jaw with  $P_3$  ( $\times 1$ ): 2a — dorsal view; 2b — lingual view; 3 — specimen ROMK, № L-608, left radius ( $\times 1$ ): 3a — ventral view, 3b — dorsal view, 3v — proximal articulation; 3g — distal articulation; Sea of Azov Region, Liventsovka sand pit; Late Pliocene, Khapry layers